

Д.45

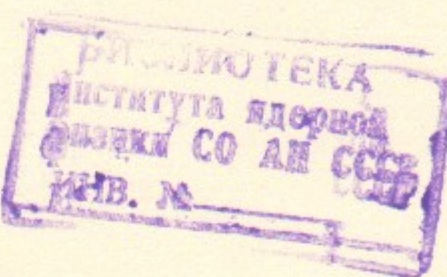
12

И Н С Т И Т У Т  
ЯДЕРНОЙ ФИЗИКИ СОАН СССР

ПРЕПРИНТ И ЯФ 74 - 99

Н.С.Диканский, В.В.Пархомчук, Д.В.Пестриков

НЕУСТОЙЧИВОСТЬ БУНЧИРОВАННОГО ПУЧКА ПРОТОНОВ,  
ВЗАИМОДЕЙСТВУЮЩЕГО С ИОННЫМ СЛЕДОМ



Новосибирск

1974

## НЕУСТОЙЧИВОСТЬ БУНЧИРОВАННОГО ПУЧКА ПРОТОНОВ,

### ВЗАИМОДЕЙСТВУЮЩЕГО С ИОННЫМ СЛЕДОМ

Показано, что неустойчивость возникает из-за симметрического отрыва потока, с которым взаимодействует пучок.

При ионизации газа в накопителе протонами показано, что

также, например, при взаимодействии пучка с рефлектором [3], пучок не испытывает такого отрыва потока (как при взаимодействии протонного пучка с ионным следом), и он может пройти сквозь поток. В первом случае неустойчивость определяется как колебание сквозь поток, так и колебание пучка за обратную фазу

### А Н Н О Т А Ц И Я

В работе рассматривается неустойчивость протонного пучка, взаимодействующего с ионным следом, возникающим при ионизации остаточного газа в накопителе протонами. Приведены выражения для декрементов и условия устойчивости колебаний.

В работе [3] показано, что неустойчивость возникает из-за симметрического отрыва потока, с которым взаимодействует пучок. В работе [4] показано, что неустойчивость возникает из-за симметрического отрыва потока, с которым взаимодействует пучок.

### КЛЮЧЕВЫЕ СЛОВА:

В работе [3] показано, что неустойчивость возникает из-за симметрического отрыва потока, с которым взаимодействует пучок. В настоящей работе же показано, что неустойчивость возникает из-за симметрического отрыва потока, с которым взаимодействует пучок.

В настоящей работе показано, что неустойчивость возникает из-за симметрического отрыва потока, с которым взаимодействует пучок.

СОВУТОЧНІ АЛГОРІТМИ ОПТИМІЗАЦІЇ  
ІНДІКАЦІЙНОГО ПУЧКА СІМІНГІТОЧНИХ  
ІНДІКАТОРІВ СІМІНГІТОЧНОЇ

Бондарев.І.І., Курников.Б.Н., Беневский.С.Н.

КІНДІОНА

пучок отримає зіставлені після відбивання від стінок  
камери при застосуванні моделі «мінімум» в стимулітіоніконах  
використанім зважостійкі лампової скатівки та заліз отриманих  
відповідної маси короткому відстані між

Обично колективні неустойчивості пучков в накопичувачах  
(ускорителях) связані з запомінанням наведених пучком полей.  
Поведіння остаточних полей во времени зависит от спектральних  
свойств внешних устройств, с которыми взаимодействует пучок.  
При этом условия устойчивости пучка существенным образом зависят  
от того, возбуждаются ли в системе высокочастотные поля  
(как, например, при взаимодействии пучка с резонатором /1/),  
или же наведенные поля квазистационарны (как при взаимодействии  
со стенками вакуумной камеры, имеющими конечную проводимость /2/). В первом случае устойчивость определяется как на-  
бегом фазы поля, так и набегом фазы колебания за оборот. Во  
втором случае неустойчивость определяется только набегом фазы  
нормального колебания.

Неустойчивость такого рода может появляться при ионизации  
атомов остаточного газа в камере накопителя протонным пучком:  
мгновенное положение ионного следа совпадает с мгновенным по-  
ложением протонов. При малых скоростях выхода ионов из протон-  
ного пучка это приводит к образованию длительной памяти в сис-  
теме. Если учесть, что сила, действующая на протоны со стороны  
ионного следа, пропорциональна  $\sim -Z(t-\tau)$  ( $\tau$  - период об-  
ращения частиц в машине), то условие устойчивости дипольных  
колебаний короткого сгустка может быть записано в виде:

$$K + \frac{1}{2} < \nu < K + 1 , \quad K = 0, 1, 2, \dots \quad (I)$$

где  $\nu$  - базразмерная частота бетатронных колебаний. В том  
случае, когда в протонном пучке возбуждено колебание мульти-  
польности  $m$  ( $\omega \approx m_z \omega_z$ ,  $m_z = \pm 1, \pm 2, \pm 3, \dots$ ), условие (I) следует,  
очевидно, заменить более общим:

$$K + \frac{1}{2} < |m_z| \nu_z < K + 1 \quad (I.a)$$

В работе /3/ такая неустойчивость рассматривалась для  
азимутально-однородного пучка. В настоящей работе мы исследуем  
устойчивость мультипольных колебаний бunchedного пучка.

В стационарном состоянии колебания протонов около равно-  
весной орбиты будем описывать формулами:

$$(x, z) = \alpha_{x,z} \cos(\varphi + \gamma_c \frac{d\omega}{d\theta})_{x,z}; \rho_{x,z} = \frac{\rho_0}{R_0} \frac{d(x, z)}{d\theta}$$

$$\theta = \theta_s + \gamma_c = \omega_s t + \varphi \sin \varphi_c; \Delta p_{ii} = p - p_i = \mu_c \dot{\varphi}_c$$

$$\dot{\varphi}_c = \omega_a = \omega_0 \nu_a, \alpha = x, z, c$$
(2)

$$I_{x,z} = \frac{\rho_0 (\gamma \Omega^2)_{x,z}}{2R_0}, I_c = \frac{\mu_c \omega_0 R_0}{2} \varphi^2$$

Здесь индексом  $s$ , как обычно, отмечаются величины, относящиеся к равновесному движению;  $2\pi R_0$  — периметр орбиты;  $\omega_0$  — частота обращения,  $\omega_s = \omega_0(\rho_0)$ ;  $\mu_c = (\partial \omega / \partial p)_s^{-1}$  — масса синхротронного движения.

Формулы (2) осуществляют каноническое преобразование от переменных  $(\vec{z}, \vec{p})$  к переменным действие-фаза  $(I, \varphi)$ . При этом, в стационарном состоянии плотность протонов в фазовом пространстве  $F(\vec{z}, \vec{p}, t)$  и гамильтониан движения протона, по определению, не зависят от фаз колебаний  $\varphi$ :

$$F_{se} = F(I), \quad \mathcal{H}_{se} = \mathcal{H}(I) \quad (3)$$

В возбужденном состоянии:

$$F = F_o(I) + \tilde{F}(I, \varphi, t); \quad \mathcal{H} = \mathcal{H}_o + e\bar{\mathcal{U}}(\vec{z}, t) \quad (3.a)$$

где  $\bar{\mathcal{U}}$  — потенциал поля ионного следа, действующего на протоны. Если распределение ионов  $F(\vec{z}, \vec{p}, t)$  известно, то потенциал  $\bar{\mathcal{U}}$  может быть записан в виде:

$$\bar{\mathcal{U}} = e \int (dF_i dP_{ii})_i F(\vec{z}, \vec{p}, t) \delta_I |\vec{z}_i - \vec{z}_0| \quad (4)$$

$dF_i = d^2 z_i d^2 p_i$ , индексом  $i$  отмечаются переменные, относящиеся к ионам.

Устойчивость распределения (3) по отношению к малым когерентным колебаниям может быть исследована обычным методом /4/ — линеаризацией системы кинетических уравнений для протонов и образуемых ими ионов вблизи стационарного состояния.

Если принять, что наиболее вероятно рождение ионов со скоростями, близкими к тепловым, то для скорости образования ионов в единице фазового объема  $dF_i/dt$  имеем:

$$\frac{dF_i}{dt} = \left( \frac{dF_i}{dt} \right)_{st} + \left( \frac{dF_i}{dt} \right) = \eta \delta(\vec{p}_i) \int d^3 p [G(\vec{z}, \vec{p}, t) + \tilde{F}(\vec{z}, \vec{p}, t)] \quad (5)$$

где  $\eta = v_s \sigma_i n_0$  — скорость ионизации на один протон,  $\sigma_i$  — сечение ионизации,  $n_0$  — плотность атомов остаточного газа. Первое слагаемое в (5) описывает стационарный поток ионов из протонного пучка на стенки вакуумной камеры. Наличие такого потока приводит к некоторому смещению частот колебаний частиц  $\nu_\alpha$ , но не вызывает систематического изменения энергии колективных колебаний. Поэтому в дальнейшем его можно опустить. Тогда исходная линеаризованная система уравнений может быть записана в виде:

$$\frac{\partial \tilde{F}_i}{\partial t} + \omega_a \frac{\partial \tilde{F}_i}{\partial \varphi_a} = e \frac{\partial \bar{\mathcal{U}}}{\partial \varphi_a} \frac{\partial F_i}{\partial I_a} \quad (6.a)$$

$$\frac{\partial \tilde{F}_i}{\partial t} + [\bar{\mathcal{H}}_i; \tilde{F}_i] = \eta \delta(\vec{p}_i) \int d^3 p \tilde{F}(\vec{z}, \vec{p}, t) \quad (6.b)$$

Здесь черта означает усреднение по равновесному азимуту  $\varphi$ ;  $[\cdot]$  — скобки Пуассона;  $\bar{\mathcal{H}}_i$  — гамильтониан, описывающий движение иона в поле протонного пучка. Для рассматриваемой неустойчивости наиболее важно взаимодействие протонов с ионами, находящимися внутри протонного пучка, где их плотность максимальна. При этом гамильтониан  $\bar{\mathcal{H}}_i$  есть:

$$\bar{\mathcal{H}}_i = \sum_{\alpha=x,z} \left( \frac{\Omega_\alpha^2}{2M_i} - \frac{M_i \Omega_\alpha^2 X_\alpha^2}{2} \right), \quad \Omega_\alpha^2 = \frac{2Ne^2}{M_i R_0 a_{\alpha\alpha}^2}$$

где  $N$  — число протонов;  $a_{\alpha\alpha}$  — размер протонного пучка по степени свободы  $\alpha$ ;  $M_i = A m_0$  — масса иона;  $A$  — атомный вес атомов остаточного газа;  $e, m_0$  — заряд и масса протона.

Уравнение (6.б) заменой переменных:

$$X_\alpha = C_\alpha \sin \Phi_\alpha; \quad P_\alpha = M_i \Omega_\alpha \sin \Phi_\alpha; \quad \dot{C}_\alpha^2 = 0; \quad \dot{\Phi}_\alpha = \Omega_\alpha$$

$$|C_\alpha| < \infty; \quad |\dot{\Phi}_\alpha| < \infty$$

может быть преобразовано в

$$\frac{\partial \tilde{F}_i}{\partial t} + \Omega_\alpha \frac{\partial \tilde{F}_i}{\partial \phi_\alpha} = \eta \delta(\vec{p}_i) \int d\Gamma' \delta(\vec{q}' - \vec{q}) F(\vec{q}', \vec{p}', t)$$

Откуда для функции  $F_i = F_i(c, \phi, t)$  получаем

$$F_i(c, \phi, t) = \frac{\eta S(p_n)}{2\pi R_0} \sum_{\ell=-\infty}^{\infty} \exp[i\ell(\theta - \omega_i t)] \int_{-\infty}^{\infty} \frac{d\omega}{2\pi} \chi_e(c, \phi, \omega) e^{-i\omega t} \quad (8.a)$$

где

$$\chi_e(c, \phi, t) = n_e(\vec{z}_1[c]) \int_0^\infty ds \exp[is(\omega + \ell\omega_s)] \prod_{\alpha=1,2} \frac{\delta(\phi_\alpha - \Omega_{\alpha s})}{M_\alpha C_\alpha \Omega_\alpha}$$

$$n_e = \int \frac{d^2 k_1}{(2\pi)^2} \exp[i\vec{k}_1 \cdot \vec{z}_1(c, 0)] \int d\Gamma \sum_m (e^{-i\ell\varphi})_{m_e} b_m(\vec{R}_1, I) F_{m\omega}(I) \quad (8.b)$$

и были введены обозначения:

$$b_m(k_1, I) = \int_0^{2\pi} \frac{d\psi}{(2\pi)^2} \exp[i\vec{k}_1 \cdot \vec{z}_1(I, \psi) - i m \varphi_0]$$

$$\ell_1 = \ell + m_\alpha \frac{d\omega_\alpha}{d\omega_s}$$

Если рабочая точка по частотам колебаний  $\nu_a$  удалена от машинных резонансов, то в первом приближении теории возмущений нормальными колективными переменными протонов являются гармоники функции распределения  $F$ :

$$F_{m\omega}(I) \exp(i m_\alpha \varphi_\alpha - i \omega t), \quad \omega = m_\alpha \omega_a + \Delta \omega_m; |\Delta \omega_m| \ll \min\{\omega_\alpha\} \quad (9)$$

При этом в уравнении (6.a), с точностью до величин порядка  $|\Delta \omega_m| / \min\{\omega_\alpha\}$ , можно пренебречь влиянием гармоник  $F_{m'}$  с номерами мультипольности  $\{m'\}$ , отличными от  $\{m_\alpha\}$ . Подставив (9) в (6.a), получим уравнение для амплитуд нормальных колебаний

$$\Delta \omega_m F_{m\omega} = -e^2 m_\alpha \frac{\partial F_0}{\partial I_\alpha} \sum_{\ell=-\infty}^{\infty} J_{m_e}(\ell, \varphi) \int d^2 k_1 b_m(\vec{R}_1, I) \tilde{n}_{ie}(\vec{R}_1, m_\alpha \omega_\alpha) \quad (10)$$

где  $J_m(x)$  — функция Бесселя порядка  $m$ , а  $\tilde{n}_{ie}$  — Фурье-гармоника плотности ионов:

$$\tilde{n}_{ie} = \int d\Gamma_i \tilde{F}_i(\vec{q}, \vec{p}, t) e^{-i\vec{q} \cdot \vec{z}_i}$$

Воспользовавшись явным выражением для  $F$  из (8.a), (8.b), из (10) можем записать однородное интегральное уравнение для амплитуд  $F_{m\omega}(I)$ :

$$\Delta \omega_m F_{m\omega} = -i\eta \frac{2\pi e^2 m_\alpha}{V_s} \frac{\partial F_0}{\partial I_\alpha} \sum_{\ell=-\infty}^{\infty} \frac{J_{m_e}(\ell, \varphi)}{[\nu_a \nu_a + i(\nu_{ix} + \nu_{iz})]} \times \\ \times \int d^2 k_1 b_m(\vec{R}_1, I) \int d\Gamma' J_{m_e}(\ell, \varphi') b_m(\vec{R}_1, I') F_{m\omega}(I') \quad (II)$$

$$\nu_{ix} = \frac{\Omega_x}{\omega_s}; \quad \nu_{iz} = \frac{\Omega_z}{\omega_s}$$

спектр которого определяет спектр колективных колебаний протонов, взаимодействующих с ионным следом. Для дальнейшего конкретизируем вид распределения  $F_o(I)$ :

$$F_o(I) = \frac{N \delta(\varphi^2 - \varphi_0^2)}{I_{x0} I_{z0}} \exp\left[-\frac{I_x}{I_{x0}} - \frac{I_z}{I_{z0}}\right] \quad (I2)$$

где величины  $I_{x0}$ ,  $\varphi_0$  связаны с размерами пучка:

$$a_{x0}^2 = \frac{2R_0 I_{x0}}{\rho_s \nu_x}; \quad a_{z0}^2 = \frac{2R_0 I_{z0}}{\rho_s \nu_z}; \quad \ell_b = 2\varphi_0 R_0$$

Уравнение (II) с распределением (I2) параметризуется:

$$\lambda_m C_{R_1}^m = \int \frac{d^2 k_1'}{k_1'^2} g_m(\vec{R}_1, \vec{R}_1') C_{R_1'}^m \quad (I3)$$

$$C_{R_1'}^m = \int d\Gamma' b_m(\vec{R}_1, I') F_{m\omega}(I') \\ g_m(\vec{R}, \vec{R}') = \exp\left[-\frac{\vec{K}_1^2 + \vec{K}_1'^2}{4}\right] I_{m_e}\left(\frac{\vec{K}_1 \cdot \vec{K}_1'}{2}\right) I_{m_e}\left(\frac{\vec{K}_2 \cdot \vec{K}_2'}{2}\right)$$

$I_m(x)$  — функции Бесселя от минимого аргумента, а комплексный когерентный сдвиг частоты  $\Delta \omega_m$  выражается через собственные числа уравнения (I3):

$$\Delta \omega_m = i \lambda_m \eta \frac{2\pi A}{\gamma} \left( \frac{m_x \nu_x^2}{\nu_x} + \frac{m_z \nu_z^2}{\nu_z} \right) \sum_{\ell=-\infty}^{\infty} \frac{J_{m_e}^2(\ell, \varphi_0)}{[\nu_a \nu_a + i(\nu_{ix} + \nu_{iz})]} \quad (I4)$$

Собственные числа уравнения (I3) зависят только от номеров мультипольности  $\{m_\alpha\}$ . Поскольку  $J_m(\vec{R}_1, \vec{R}_1')$  является положительным ядром, все собственные числа  $\lambda_m$  положительны.

При этом максимальное собственное число  $\lambda_m^{\max}$  сверху ограничено величиной:

$$\lambda_m^{\max} < \frac{2}{\pi} \frac{\psi(m_x + \frac{1}{2}) - \psi(m_z + \frac{1}{2})}{(m_x^2 - m_z^2)}, \quad \psi(x) = \frac{d \ln \Gamma(x)}{dx}$$

Декременты колебаний представим суммой вкладов от однооборотных и многооборотных эффектов:

$$\begin{aligned} \delta_{st} - Im(\Delta\omega_m) &= \delta_{st} + \delta_{mt} = \\ &= -\eta \frac{2\pi \lambda_m A}{\gamma} \left( \frac{m_x v_{ix}^2}{v_x} + \frac{m_z v_{iz}^2}{v_z} \right) \operatorname{Re} \left[ \int_0^\infty d\ell \frac{\gamma_{mc}^2(\ell, \gamma_0)}{m_x v_x + i(v_{ix} + v_{iz})} \right] + (I5) \\ &\quad + \sum_{K=1}^{\infty} \int_0^\infty d\ell \frac{\gamma_{mc}^2(\ell, \gamma_0) \exp(-2\pi i \ell k)}{m_x v_x + i(v_{ix} + v_{iz})} \end{aligned}$$

Оценим сначала влияние однооборотных эффектов. Простые выражения для декремента  $\delta_{st}$  можно получить в двух предельных случаях:

а)  $|\varphi_0| |d\ln v_x / d\ln \omega_s| \ll 1$  — машина с малым хроматизмом.

В этом случае подынтегральное выражение в (I5) можно разложить в ряд по  $\varphi_0 m_x |d\ln v_x / d\ln \omega_s|$ . Выполнив интегрирование по  $\ell$ , получаем:

$$\delta_{st} = -\eta \frac{4\pi \lambda_m A}{\gamma} Z_{m_x m_z} \varphi_0 \left( m_x \frac{d v_x}{d \ln \omega_s} + m_z \frac{d v_z}{d \ln \omega_s} \right) \Delta_{mc}(q_i) \quad (I6)$$

где  $q_i = \varphi_0 (v_{ix} + v_{iz})$ ,  $Z_{m_x m_z} = m_x v_{ix}^2 / v_x + m_z v_{iz}^2 / v_z$ , а фактор

$\Delta_{mc}(q_i)$  равен:

$$\Delta_{mc}(q_i) = \begin{cases} \frac{2}{\pi} \frac{\Gamma(m_{cl} - \frac{1}{2})}{(m_{cl} + \frac{1}{2}) \Gamma(m_{cl} + \frac{1}{2})} & q_i \ll 1 \\ \frac{\ln q_i}{q_i^2} & q_i \gg 1 \end{cases} \quad (I7)$$

Заметим, что однооборотное слагаемое декремента  $\delta_{st}$  полностью обвязано *head-tail* перемешиванию. При этом декремент имеет характерную зависимость от номера мультипольности синхротронного движения: декремент бетатронных колебаний ( $m_c = 0$ ) имеет знак, обратный декрементам синхробетатронных колебаний ( $m_c \neq 0$ ). Сумма декрементов  $\delta_{st}$ , просуммированная по всем продольным модам  $m_c$ , как легко видеть, равна нулю:

$$\sum_{m_c=-\infty}^{\infty} \delta_{st}(m_c) = 0$$

Отметим также любопытную особенность рассматриваемой неустойчивости. При малых плотностях протонов ( $q_i \ll 1$ ), когда ионы довольно долго находятся в пучке, декремент  $\delta_{st}$  линейно зависит от числа протонов  $N$ . При дальнейшем увеличении плотности протонов возникает ситуация, когда образовавшиеся ионы успевают уйти из пучка за время порядка  $\sim l_0 / v_s$ . При этом декремент  $\delta_{st}$  перестает зависеть от протонного тока и определяется только плотностью остаточного газа  $n_0$ .

Приведем еще выражение для декремента  $\delta_{st}$  для случая, когда бетатронное движение дипольно, скажем  $m_z = 1$ ,  $m_x = 0$ :

$$\delta_{st} = -\eta \frac{4\pi \lambda_1 A v_{iz}^2}{\gamma} \varphi_0 \frac{d \ln v_z}{d \ln \omega_s} \Delta_{mc}(q_i) \quad (I8)$$

$$\lambda_1 < \frac{2}{\pi} \psi(\frac{3}{2}) \approx 2.3 \cdot 10^{-2}$$

$\psi(x)$  — логарифмическая производная  $\Gamma$ -функции. Если скорость выхода ионов из протонного пучка невелика ( $q_i \ll 1$ ), формула (I8) дает:

$$\delta_{st} = -\eta \frac{8 \lambda_1 N z_p}{\gamma \beta^2 \alpha_{z0}^2} l_0 \frac{d \ln v_z}{d \ln \omega_s} \frac{\Gamma(m_{cl} - \frac{1}{2})}{(m_{cl} + \frac{1}{2}) \Gamma(m_{cl} + \frac{1}{2})}, \quad z_p = e^2 / m_e c^2$$

Для дипольных бетатронных колебаний ( $m_c = 0$ ) декремент равен:

$$\delta_{st} = \eta \frac{32 \lambda_1 N z_p}{\gamma \beta^2 \alpha_{z0}^2} l_0 \frac{d \ln v_z}{d \ln \omega_s}$$

При больших плотностях протонного пучка ( $q_i \gg 1$ ) декремент  $\delta_{st}$  из (I8) есть:

$$\begin{aligned} \delta_{st} &= -\eta \frac{4\pi \lambda_1 A v_z^2}{\gamma q_i^2} \varphi_0 \frac{d \ln v_z}{d \ln \omega_s} \ln q_i \approx \\ &\approx -\frac{\pi n_0 \bar{v}_s \lambda_1 A}{\gamma \varphi_0} \frac{d \ln v_z}{d \ln \omega_s} \ln q_i \end{aligned}$$

б) При большом хроматизме машины  $|\varphi_0| |d\ln v_x / d\ln \omega_s| \gg 1$ , величину  $\delta_{st}$ , с логарифмической точностью, можно оценить по формуле:

$$\delta_x = -\eta \frac{8 \lambda_m A Z_{m_x m_z}}{\gamma \varphi_0 / m_x \left| \frac{d v_x}{d \ln \omega_3} \right|} L_m \quad (19)$$

где  $L_m$  - логарифмический фактор:

$$L_m \approx \begin{cases} \ln \left( \frac{\varphi_0}{1 m_c} / m_x \left| \frac{d v_x}{d \ln \omega_3} \right| \right), \varphi_0 / m_x \left| \frac{d v_x}{d \ln \omega_3} \right| \gg q_i \\ \ln \left( \frac{q_i}{1 m_c} \right) \quad , \quad \varphi_0 / m_x \left| \frac{d v_x}{d \ln \omega_3} \right| \ll q_i \end{cases}$$

Вклад в декремент от многооборотных эффектов существен только для бетатронных мод ( $m_c = 0$ ), так как для синхробетатронных мод величина декремента  $\delta_{mt}$ , как это видно из (15), пропорциональна малому числу  $(\varphi_0 / 4\pi)^{2/m_c} \ll 1$ . Выполнив в (15) интегрирование по  $\ell$  и суммирование по  $K$ , получаем выражение для декремента  $\delta_{mt}$ :

$$\delta_{mt} = -\eta \frac{2\pi \lambda_m A Z_{m_x m_z}}{\gamma} \begin{cases} \frac{2\pi \sin(2\pi / m_x v_x + m_z v_z)}{\exp(2\pi / m_x v_x + m_z v_z)}, 2\pi(v_{ix} + v_{iz}) > 1 \\ \frac{\pi}{2} \operatorname{ctg}(\pi / m_x v_x + m_z v_z); 2\pi(v_{ix} + v_{iz}) < 1 \end{cases}$$

$$Z_{m_x m_z} = \left( \frac{m_x v_{ix}^2}{v_x} + \frac{m_z v_{iz}^2}{v_z} \right) \operatorname{Sign}(m_x v_x + m_z v_z) \quad (20)$$

$$= \frac{2 N z_0 R_0}{A \beta^2} \left( \frac{m_x}{v_x a_{x0}^2} + \frac{m_z}{v_z a_{z0}^2} \right) \operatorname{Sign}(m_x v_x + m_z v_z); \beta = v_3/c$$

Вклад многооборотных эффектов  $\delta_{mt}$  в декремент колебания положителен, если

$$K - \frac{1 + \operatorname{Sign} Z_{m_x m_z}}{4} \leq |m_x v_x + m_z v_z| \leq K + \frac{1 - \operatorname{Sign} Z_{m_x m_z}}{4} \quad (21)$$

Для суммовых  $m_x \cdot m_z > 0$ , или одномерных  $m_x \cdot m_z = 0$  возбуждений величина  $Z_{m_x m_z}$  положительна, при этом условие устойчивости (21) может быть записано в более простом виде:

$$m_x \cdot m_z > 0 ; K - \frac{1}{2} \leq |m_x v_x + m_z v_z| \leq K$$

$$m_x = 0; m_z \neq 0; K - \frac{1}{2} \leq |m_z v_z| \leq K \quad (21.a)$$

Для дипольных колебаний ( $|m_z| = 1$ ) из (21.a) получаем условие устойчивости (I):

$$K - \frac{1}{2} \leq v_z \leq K$$

Отметим, что условия устойчивости (21), (21.a) противоположны условиям устойчивости сгустка по отношению ко взаимодействию со стенками вакуумной камеры, имеющими конечную проводимость [2], [5]. Это связано с тем, что в рассматриваемом случае наведенные поля, из-за отталкивания протонов и ионов, действуют против смещения протонов от равновесной орбиты.

Как и в [5] сумма декрементов колебаний  $\delta_m$ , просуммированная по всем продольным модам  $m_c$ , совпадает с декрементом бетатронных колебаний точечного пучка  $\delta_{mt}$ . Это означает, что для устойчивости возбуждений с заданными ( $m_x, m_z$ ) выполнение условий (21), (21.a) является, во всяком случае, необходимым.

Описанная выше неустойчивость наиболее важна для машин с низким вакуумом, либо с большими плотностями пучков. Приведем несколько численных примеров. Для накопителя НАП-М: средний радиус  $R_0 = 750$  см,  $v \approx 1,3$ ;  $N \approx 10^{10}$  частиц, среднее по машине давление остаточного газа  $P \approx 10^{-9}$  торр; размер затухшего протонного пучка  $a_c \approx 0,1$  см. При этих параметрах  $v_i \approx 0,417$  и формула (20) для дипольных колебаний дает  $1/\delta = \tau_n \approx 17$  сек. Для бустера CPS [3]: средний радиус  $R_0 = 2,5 \cdot 10^3$  см;  $v = 4,6$ ;  $N \approx 2,5 \cdot 10^{12}$  частиц;  $P \approx 10^{-7}$  торр;  $a_c = 2$  см. При этом  $v_i = 0,602$ , а  $\tau_n \approx 14,7$  сек. Видно, что в данных случаях вклады многооборотных эффектов малы из-за быстрого выхода ионов из протонного пучка.

Для машин с ненулевым хроматизмом существенную роль могут играть однооборотные эффекты. Оценим их вклад для названных установок. Для единичного хроматизма  $\varphi_0 / dV / d \ln \omega_3 = 1$  формула (18) дает: CPS  $\tau_n \approx 9 \cdot 10^{-3}$  сек  
НАП-М  $\tau_n \approx 1,4$  сек

## Л и т е р а т у р а

1. Я.С.Дербенев, Н.С.Диканский. Препринт № 326. ИЯФ СО АН СССР (1969).
2. Н.С.Диканский, А.Н.Скрипинский. АЭ, 21, 176 (1966).
3. H. G. Hereward et al. The effect of ions on the symmetrical throbbing beam mode. MPS-SI/Int. DL 168-4 (1968).
4. Я.С.Дербенев, Н.С.Диканский, Д.В.Пестриков. Препринт, ИЯФ 7-72 (1972).
5. Н.С.Диканский, Д.В.Пестриков. Препринт ИЯФ 94-74 (1974).

Ответственный за выпуск Г.А.СИРИДОНОВ

Подписано к печати 29.XI.74г. № 08599

Усл.0,4 печ.л., тираж 250 экз. Бесплатно.

Заказ № 99

Отпечатано на ротапринте в ИЯФ СО АН СССР, вт